

การพัฒนาเครื่องหมายดีเอ็นเอ ILP เพื่อศึกษาความหลากหลายทางพันธุกรรมและโครงสร้างประชากรในสบู่คำ (*Jatropha curcas* L.)

Development of ILP Marker to Assess Genetic Diversity and Population Structure of *Jatropha curcas* L.

นายวชิร สายสุข และกิตติพัฒน์ อุ่มยักษิ*

ภาควิชาเทคโนโลยีชีวภาพ คณะวิทยาศาสตร์และเทคโนโลยี มหาวิทยาลัยธรรมศาสตร์ ศูนย์รังสิต
ตำบลคลองหนึ่ง อำเภอคลองหลวง จังหวัดปทุมธานี 12120

บทคัดย่อ

ข้อมูล expressed sequence tags (ESTs) สามารถพัฒนาเป็นเครื่องหมายโมเลกุลได้หลากหลายนิด ในการศึกษานี้ เป็นการพัฒนาเครื่องหมายดีเอ็นเอ intron length polymorphism (ILP) จากการทำนายตำแหน่งอินทรอนทั้งหมด 153 อินทรอน จากข้อมูลลำดับเบส EST ของมันสำปะหลัง 30,401 ESTs รวม 386,403 bp โดยที่ยกกับข้อมูลลำดับเบสจีโนมจากมันสำปะหลัง และออกแบบไพรเมอร์ได้ทั้งหมด 112 ไพรเมอร์ จากบริเวณของอีกช้อนที่มีลักษณะอนุรักษ์ซึ่งคร่อมบริเวณของอินทรอนอยู่ โดย 71 ไพรเมอร์ สามารถเพิ่มปริมาณดีเอ็นเอที่มีความจำเพาะตำแหน่งเดียว และได้นำมาใช้เป็นเครื่องหมาย ILP ในการวิเคราะห์ความหลากหลายทางพันธุกรรมและโครงสร้างของกลุ่มประชากรสบู่คำ (*Jatropha curcas*) 59 ตัวอย่าง เครื่องหมาย ILP นี้ สามารถตรวจพบแล็ลลิทั้งหมด 152 แล็ลลิล มีค่า PIC (polymorphism information content) เฉลี่ย 0.35 จากวิเคราะห์การจัดกลุ่มตัวอย่างสบู่คำ สามารถจัดกลุ่มได้ 6 กลุ่มหลัก สอดคล้องกับแหล่งที่มาของตัวอย่าง ค่า coefficient of gene differentiation และ gene flow index แสดงให้เห็นว่าระดับของความแตกต่างทางพันธุกรรมระหว่างกลุ่มประชากรทั้ง 6 กลุ่ม ค่อนข้างต่ำ ผลของ analysis of molecular variance พบว่าความหลากหลายทางพันธุกรรมส่วนใหญ่ (97%) อยู่ภายในกลุ่มประชากร ซึ่งชี้ให้เห็นถึงการเหลือมซ้อนกันของความหลากหลายทางพันธุกรรมของกลุ่มประชากรย่อย เครื่องหมาย ILP ที่พัฒนาจากการทดลองนี้แสดงให้เห็นว่าสามารถใช้เป็นเครื่องหมายในการศึกษาความหลากหลายทางพันธุกรรมภายในสปีชีส์ *J. curcas* ได้

คำสำคัญ : สบู่คำ ความหลากหลายทางพันธุกรรม ไอแอปพลิ

*ผู้รับผิดชอบบทความ : ku@ku.ac.th

Abstract

A large number of expressed sequence tags (ESTs) are available and has facilitated the development of molecular markers in many plant species. In the present study, intron length polymorphism (ILP) markers were developed *in silico* from EST sequences and genomic sequence of cassava. Of 153 predicted introns, 112 primer pairs were designed to conserved exonic regions flanking introns, using 30,401 cassava unique transcripts alignments to 386,403 bp cassava genomic sequences. Of total primers, 71 primer pairs gave single-copy loci for ILP markers and were selected to assess genetic diversity and population structure of 59 *Jatropha curcas* accessions. A total of 152 alleles were detected by ILP markers. Average PIC (polymorphism information content) was 0.35. The cluster analysis revealed six groups based on geographic sources or origins of collection. The coefficient of gene differentiation and gene flow index indicated relatively low level of genetic differentiation among the six groups. Analysis of molecular variance showed that the majority (97%) of genetic diversity was within populations indicating a high level of overlapping and little population subdivision with respect to geographic area. ILPs developed in the present study have been proved to be alternative molecular markers used for studying genetic diversity within species *J. curcas*.

Keywords: *Jatropha*, genetic diversity, intron length polymorphism (ILP)

1. บทนำ

อินทรอน (intron) เป็นส่วนของยีนที่ไม่มีการแปลรหัส มีการกระจายตัวอยู่ทั่วทั้งจีโนมของสิ่งมีชีวิต เมื่อเทียบกับบริเวณเอ็กซอน (exon) แล้ว อินทรอนจะมีความหลากหลายมากกว่า เพราะในการคัดเลือกโดยธรรมชาติแล้วในบริเวณที่เป็นอินทรอน จะมีความอนุรักษ์น้อยกว่าบริเวณที่เป็นเอ็กซอน [1] ดังนั้นบริเวณนี้จึงสามารถมีความหลากหลายได้มาก ตัวอย่าง เช่น ค่าเฉลี่ยของจำนวน SNPs ต่อ 1000 bp ในอินทรอน (12.1) มีมากกว่าเอ็กซอน (3.6) ถึง 3 เท่า ระหว่างข้าว 8 สายพันธุ์ [2] ความหลากหลายของขนาดนั้นพบมากในบริเวณอินทรอน ดังนั้น intron length polymorphism (ILP) จึงสามารถใช้เป็นเครื่องหมายโมเลกุลได้ [3,4,5,6] ILP สามารถตรวจสอบได้ด้วยเทคนิคปฏิกริยาลูกิโซ่เพลเมอร์

(PCR) โดยใช้ไพรเมอร์ที่ออกแบบมาให้จำเพาะต่อ บริเวณเอ็กซอนที่คร่อมส่วนที่คาดว่าเป็นอินทรอน [5] ซึ่งวิธีพื้นฐานที่ใช้ทำนายตำแหน่งของอินทรอน คือ การเปรียบเทียบลำดับเบสระหว่าง cDNA หรือ expressed sequence tags (ESTs) กับลำดับเบสของจีโนม ดังนั้นจึงสามารถระบุตำแหน่งที่เป็นอินทรอนได้ในสิ่งมีชีวิตหลายชนิด

ข้อมูลของลำดับเบส EST และจีโนมของพืชในพีชวงศ์ Euphorbiaceae ของมันสำปะหลัง (*Manihot esculenta*) มีข้อมูลลำดับเบส EST และลำดับเบสจีโนมมากที่สุด อีกทั้งยังมีระดับของความสามารถในการนำข้อมูลพันธุกรรมมาใช้ในสูตรคำที่ค่อนข้างมาก [7] จากข้อมูลดังกล่าว จึงสามารถพัฒนาเครื่องหมาย ILP ในสูตรคำ ด้วยการออกแบบไพรเมอร์ที่จำเพาะต่อเอ็กซอนที่คร่อมส่วนของอินทรอน โดย

ใช้ข้อมูลจากการเปรียบเทียบลำดับเบส EST และจีโนมของมันสำປะหลัง เครื่องหมาย ILP ที่ได้จะนำมามุ่งเน้นในการวิเคราะห์ความหลากหลายทางพันธุกรรมของสนูดำตั้ง 59 ตัวอย่าง เพื่อศึกษาโครงสร้างพันธุกรรม เพิ่มความเข้าใจ และใช้ประโยชน์ในการเก็บรวบรวมพันธุ์สนูดำสำหรับโครงการปรับปรุงพันธุ์

2. วัสดุอุปกรณ์และวิธีการทดลอง

2.1 ตัวอย่างสนูดำ

ตัวอย่างสนูดำที่ใช้ในการศึกษารังนี้มี 59 ตัวอย่าง ประกอบด้วย 42 ตัวอย่าง ที่เก็บรวมรวมมาจากพื้นที่ที่มีสภาพภูมิประเทศแตกต่างกัน 4 แบบ ในประเทศไทย และอีก 17 ตัวอย่าง มาจาก 9 ประเทศ ใน 4 ทวีป รวมกับตัวอย่างสนูแดง (*J. gossypifolia*) 1 ตัวอย่าง ที่ใช้เป็นตัวอย่างอกกลุ่ม (ตารางที่ 1) นำไปอ่อนแต่ละตัวอย่างมาสักดีเอ็นเอด้วยวิธี CTAB (cetyltrimethyl ammonium bromide) ของ Gawel and Jarret (1991) [8] และตรวจสอบคุณภาพและความเข้มข้นของดีเอ็นเอด้วยวิธี agarose gel electrophoresis และ spectrophotometric ตามลำดับ สุดท้ายจึงเลือกตัวอย่างตัวอย่างดีเอ็นเอให้มีความเข้มข้นพอเหมาะสมสำหรับการวิเคราะห์ด้วยเครื่องหมาย ILP ดีเอ็นเอ

2.2 การพัฒนาเครื่องหมาย ILP

ข้อมูลลำดับเบสจีโนมของมันสำປะหลังถูกดาวน์โหลดมาจากฐานข้อมูล Phytozome V5.0 (<http://www.phytozome.net/soybean>) และข้อมูลลำดับเบส PUT (PlantGDB-assembled Unique Transcript) ของมันสำປะหลังถูกดาวน์โหลดมาจากฐานข้อมูล PlantGDB (<http://www.plantgdb.org>) เหตุผลที่เลือกใช้ข้อมูลมันสำປะหลังมาใช้ใน

การศึกษารังนี้ เพราะมันสำປะหลังมีการวิพากษากาลีดีชัดกับสนูดำ มีจำนวนข้อมูลลำดับเบส EST มากที่สุด และเป็นสปีชีส์ในวงศ์ Euphorbiaceae ที่มีการศึกษามากที่สุด การทำนายตำแหน่งของอินทรอนและการออกแบบไพรเมอร์ ILP นั้นจะทำตามวิธีของ Yang *et al.* (2007) [9] ซึ่งมีขั้นตอนคือ นำข้อมูล coding sequence ของมันสำປะหลังมาทำการ alignment กับ ลำดับเบสจีโนมของมันสำປะหลังโดยใช้โปรแกรม GeneSeqer [10] เพื่อให้ได้ข้อมูลตำแหน่งและความยาวอินทรอน ของมันสำປะหลังจากนั้นออกแบบไพรเมอร์ที่จำเพาะต่อตำแหน่งของอีกช้อนที่คร่อมส่วนของตำแหน่งที่คาดว่าจะเป็นอินทรอนอยู่ ด้วยโปรแกรม Primer3 [11] เพิ่มปริมาณชิ้นดีเอ็นเอด้วยปฏิกิริยาพีซีอาร์ 20 μl ซึ่งประกอบด้วยดีเอ็นเอดีนั้นแบบ 50 ng, 1X PCR buffer (20 mM Tris pH 9.0, 100 mM KCl, 3.0 mM MgCl₂), dNTPs ทั้ง 4 ชนิด 400 μM , คู่ไพรเมอร์อย่างละ 0.4 μM และ Taq DNA polymerase 1 Unit และใช้สภาวะในการทำพีซีอาร์ 94°C 1 นาที ตามด้วย 35 รอบ ของ 94°C 30 วินาที, (45-57)°C 30 วินาที, 72°C 1 นาที และสุดท้ายที่อุณหภูมิ 72°C 5 นาที หลังจากการทำพีซีอาร์ ผลผลิตพีซีอาร์ที่ได้จะนำมาวิเคราะห์ด้วย agarose gel 1.5% และ denaturing polyacrylamide gel 6% และย้อมด้วยสารบัค็อกเจน [12]

2.3 การวิเคราะห์ข้อมูล

การคำนวณ genetic diversity parameters ของข้อมูลจีโนไทป์ที่ได้จากเครื่องหมายดีเอ็นเอ โดยใช้โปรแกรม PowerMarker [13] (<http://www.powermarker.net>) ประกอบด้วยค่าจำนวนจีโนไทป์ (NG), จำนวนแอลลีล (NA), gene diversity (GD), heterozygosity (H), และ polymorphism information content (PIC) การคำนวณ pair-wise genetic distance

ตารางที่ 1 ตัวอย่างสมุนไพร (*Jatropha*) ที่ใช้ในการวิเคราะห์โครงสร้างประชากร

Geographic origin	Accession identity	Sources	Accession number
Northern Thailand (N)	N-PH	Phrae	2 (1-2)
	N-LM	Lampang	4 (3-6)
	N-CM	ChiangMai	6 (7-12)
	N-NA	Nan	1 (13)
	N-SU	Sukhothai	1 (14)
	N-TK	Tak	1 (15)
Northeastern Thailand (NE)	NE-LE	Loei	1 (16)
	NE-MH	Mukdahan	2 (17-18)
	NE-NR	Nakhon Ratchasima	1 (19)
	NE-CP	Chaiyaphum	2 (20-21)
Central Thailand (C)	C-NS	Nakhon Sawan	2 (22-23)
	C-PT	Pathum Thani	3 (24-26)
	C-CN	Chai Nat	1 (27)
	C-UT	Uthai Thani	1 (28)
	C-NP	Nakhon Pathom	7 (29-35)
	C-KB	Kanchanaburi	3 (36-38)
Central Thailand (C)	C-NS	Nakhon Sawan	2 (22-23)
	C-PT	Pathum Thani	3 (24-26)
	C-CN	Chai Nat	1 (27)
	C-UT	Uthai Thani	1 (28)
	C-NP	Nakhon Pathom	7 (29-35)
	C-KB	Kanchanaburi	3 (36-38)
Southern Thailand (S)	S-ST	Satun	2 (39-40)
	S-NT	Nakhon Si Thammarat	1 (41)
	S-PL	Phatthalung	1 (42)
Asia	A-I	India	3 (43-45)
	A-V	Vietnam	1 (46)
	A-M D2	D2 Myanmar	1 (47)
	A-M Mague	Mague Myanmar	1 (48)
	A-M Namlat	Namlat Myanmar	1 (49)
	A-M Rwar-Ngn	Rwar-Ngn Myanmar	1 (50)
	A-M Tanngue	Tanngue Myanmar	1 (51)
	A-M ync-36	ync-36	1 (52)
	A-L	Lao	1 (53)
	A-S	Sri Lanka	1 (54)
America	USA	USA	2 (55-56)
	Mexico	Mexico	2 (57-58)
Africa	Senegal	Senegal	1 (59)
Outgroup species	<i>J. gossypifolia</i>	Thailand	1

ระหว่างตัวอย่างคำนวนจากค่า similarity coefficients [14] ผลที่ได้จะถูกนำมาสร้างเป็น dendrogram ด้วยวิธี unweighted pair group method with arithmetic average (UPGMA) ซึ่งขั้นตอนทั้งหมดจะถูกประมวลผลจากโปรแกรม NTSYS-PC V2.0 [15] genetic variability parameters ระหว่างกลุ่มประชากร จะวิเคราะห์ด้วยโปรแกรม PopGen [16] ซึ่ง parameter ต่างๆ ประกอบด้วย จำนวนแอลลีล (Na), จำนวนของ effective alleles (Ne), ค่า heterozygosity ที่คาดหมาย (He), และ Shanon genetic diversity index (I), gene diversity รวม (Ht), gene diversity ในกลุ่มประชากร (Hs), และ coefficient of gene differentiation (Gst) ค่า Gene flow (Nm) ประเมินจากสูตร $Nm=0.5(1-G_{ST})/G_{ST}$ [17] การวิเคราะห์ความแปรปรวนทางพันธุกรรมของกลุ่มประชากรใช้การวิเคราะห์ analysis of molecular variance (AMOVA) [18] ด้วยโปรแกรม ARLEQUIN 3.0 ค่าความแปรปรวนทางพันธุกรรม แบ่งเป็นค่าระหว่างกลุ่ม และภายในกลุ่มประชากร โดยใช้ 1000 random permutation ในการทดสอบระดับนัยสำคัญ และสุดท้ายใช้ค่า F_{ST} (phi-statistic; θ_{ST}) ที่ได้จากการคำนวน AMOVA เป็นตัววัด genetic distance ระหว่างกลุ่มประชากร และสร้าง dendrogram จากค่า F_{ST} matrix นี้ ด้วยการจัดกลุ่มแบบ UPGMA

3. ผลการทดลอง

3.1 การทำนายตำแหน่งอินทรอนและการเพิ่มปริมาณดีเอ็นเอด้วยเครื่องหมาย ILP

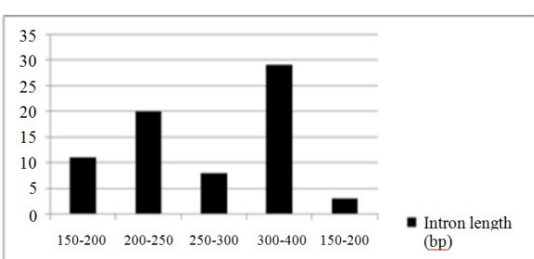
เปรียบเทียบลำดับเบสของ PUT และจีโนมของมันสำปะหลังด้วยโปรแกรม Geneseqer เพื่อศึกษาจำนวนของอินทรอนและตำแหน่ง splice site จากการเปรียบเทียบ 30,401 PUT จากมันสำปะ-

หลังกับลำดับเบสจีโนม 386,403 คู่เบส มีอินทรอนทั้งหมด 153 อินทรอน ที่สามารถระบุได้ อินทรอนที่ถูกเลือกมาใช้ในการพัฒนาเครื่องหมาย ILP มีขนาดตั้งแต่ 47-9,369 คู่เบส โดยเฉลี่ย 613.66 คู่เบส จากจำนวนอินทรอนทั้งหมดที่ทำงานได้มี 133 อินทรอน ที่มีขนาดของอีกช้อนข้างเคียงยาวพอที่จะออกแบบ ILP ได้ โดยอินทรอนที่มีความยาวมากเกินไปจะทำให้การวิเคราะห์จีโนไทป์มีความคลาดเคลื่อนเนื่องจากข้อจำกัดของความสามารถแยกความแตกต่างของขนาดชิ้นดีเอ็นเอ ดังนั้นจึงเลือกเฉพาะอินทรอนที่มีขนาดเล็กกว่า 1,000 คู่เบส มาใช้ในการออกแบบ ILP เพื่อใช้ในการวิเคราะห์ความหลากหลายของขนาดแอบดีเอ็นเอ จากทั้งหมด 133 ILP ILP ไพรเมอร์ที่ออกแบบมา มี 112 ไพรเมอร์ ที่เลือกไปสังเคราะห์และใช้เพิ่มปริมาณชิ้นดีเอ็นเอของจีโนมิกดีเอ็นเอของตัวอย่างสนับด้ำทั้ง 7 ตัวอย่าง และตัวอย่างสนับดึงอีกหนึ่งตัวอย่าง จากจำนวนไพรเมอร์ทั้งหมดที่ถูกทดสอบ มี 63.4% (71/112) ไพรเมอร์ ที่ให้ผลผลิตพิชีอาร์ที่มีคุณภาพดี สามารถแยกในการทำอิเลคโทรforeซิสได้อย่างชัดเจน จากผลที่ได้แสดงให้เห็นว่าคู่ ILP ที่ออกแบบจากจีโนมิกดีเอ็นเอของมันสำปะหลังสามารถใช้ในการถ่ายโอนสู่สนับด้ำได้อย่างมีประสิทธิภาพ จากจำนวนไพรเมอร์ทั้งหมดที่นำมาทดสอบ มีไพรเมอร์ถูก (4.5%) สร้างดีเอ็นเอ หลากหลายแบบ ซึ่งไม่เหมาะสมต่อการใช้เป็นเครื่องหมายดีเอ็นเอ จึงคัด ILP เหล่านี้ออกจาก ILP 71 คู่ ที่ถูกคัดเลือกมา มีไพรเมอร์ 57 คู่ ให้พลิมอร์ฟิซึ่มใน 7 ตัวอย่าง สนับด้ำที่ส่วนใหญ่ถูกนำไปวิเคราะห์ความหลากหลายทางพันธุกรรมกับตัวอย่างสนับด้ำทั้งหมดต่อไป อินทรอนที่ใช้ในการออกแบบ ILP ทั้ง 71 คู่ มีขนาดตั้งแต่ 153-481 คู่เบส โดยเฉลี่ย 284.32 คู่เบส และส่วนมาก (88.73%) มีขนาด

เล็กกว่า 400 คู่เบส (รูปที่ 1) อัตราการถ่ายโอนของ ILP ไพรเมอร์จากมันสำปะหลังสู่สับปะรด (*J. gossypifolia*) มี 73% (66/112) จากผลที่ได้ชี้ให้เห็นว่า อินทรอนในสบู่คำส่วนใหญ่ที่ทำนายมีความถูกต้อง ซึ่งแสดงให้เห็นว่าการทำนายตำแหน่งของอินทรอน ในสบู่คำโดยอ้างอิงจากพืชต้นแบบในวงศ์ Euphorbiaceae เช่น มันสำปะหลังนั้นค่อนข้างมี ประสิทธิภาพกับเจนัส *Jatropha*

ตารางที่ 2 การเพิ่มปริมาณดีเอ็นเอด้วยปฏิกิริยา พีซีอาร์

	<i>J. curcas</i>	<i>J. gossypifolia</i>
PCR success rate	75 (84.0%)	66 (73.9%)
PCR failure rate	37 (16.0%)	46 (26.1%)
Good quality PCR product	71 (79.5%)	66 (73.9%)
Multiple band PCR product	4 (4.5%)	0 (0.0%)
Polymorphism rate	57 (63.8%)	



รูปที่ 1 การกระจายตัวขนาดของอินทรอน

3.2 ความแปรปรวนของแอลลีก์ที่ได้จาก ILP
จากการวิเคราะห์ ILP ทั้ง 57 เครื่องหมาย แอลลีกทั้งหมด 152 แอลลีก มีจีโนไทป์ทั้งหมด 164 จีโนไทป์ จำนวนแอลลีกและจำนวนจีโนไทป์มีดังนี้แต่ 2-5 และ 2-7 โดยเฉลี่ย 2.67 ± 0.81 และ 2.88 ± 1.05 ตามลำดับ ค่า PIC มีดังนี้แต่ $0.06-0.58$ เฉลี่ย 0.35 ± 0.10

และค่าความหลากหลายของยีนตั้งแต่ $0.07-0.65$ โดยเฉลี่ย 0.44 ± 0.14 (ตารางที่ 3)

ตารางที่ 3 ความแปรปรวนแอลลีกของเครื่องหมาย ILP 57 เครื่องหมายในสบู่คำ 59 ตัวอย่าง

	NG	NA	GD	PIC
Mean	2.88	2.67	0.44	0.35
Max	7	5	0.65	0.58
Min	2	2	0.07	0.06
Total	164	152		

NG = number of genotypes

NA = number of allele

GD= gene diversity

PIC= Polymorphism information content

3.3 ความคล้ายคลึงกันทางพันธุกรรมและการวิเคราะห์การจัดกลุ่ม

ความหลากหลายทางพันธุกรรมภายในกลุ่มประชากรสบู่คำที่ประเมินจากเครื่องหมาย ILP มีค่าสัมประสิทธิ์ความคล้ายคลึงตั้งแต่ 0.41 [ระหว่าง CP (NES) กับเม็กซิโก] ถึง 1.00 [ระหว่าง NP (C10) กับ NP (C13)] เนลล์ 0.72 Dendrogram ถูกสร้างขึ้นเพื่อประเมินความสัมพันธ์ทางพันธุกรรมระหว่างตัวอย่างสบู่คำโดยใช้การวิเคราะห์แบบ UPGMA ซึ่งสบู่แดงถูกแยกออกมาด้วยค่าสัมประสิทธิ์ความคล้ายคลึงกันเท่ากับ 0.42 และไม่จัดเป็นกลุ่มตัวอย่างสบู่คำใดๆ เลย การจัดกลุ่มแสดงให้เห็นว่า ตัวอย่างที่มาจากการต่างประเทศส่วนใหญ่จะถูกแยกกลุ่มออกจากประเทศไทย โดยตัวอย่างจากเม็กซิโกที่ไม่มีพิษ (มีสาร prorbal ester อยู่ในระดับต่ำ) ถูกจัดกลุ่มแยกจากตัวอย่างจากประเทศไทย Dendrogram บัง

แสดงให้เห็นว่าตัวอย่างส่วนใหญ่ที่ได้จากເອເຊີຍ ซึ่ง
ประกอบด้วยตัวอย่างจากพม่า (Tanngue, D2, Rwar-
Ngn) ເວີຍຄນາມ ລາວ ແລະ ອິນເຕີບຖຸກຈັດອູ້ໃນກຸລຸ່ມ
ເດືອກກັນ ສ່ວນກຸລຸ່ມตัวอย่างของประเทศไทยมีความ
คล้ายคลึงทางพันธุกรรมสัมพันธ์กับพืชนີ້ງມີປະເທດ
(ຮູບທີ 2)

3.4 ความหลากหลายทางพันธุกรรมในสบู่ดำ

ค่าความหลากหลายทางพันธุกรรมของสปูน
ค่าถูกกำหนดเป็น 6 กลุ่ม สัมพันธ์กับภูมิภาคของ
แหล่งที่มาของตัวอย่าง (ตารางที่ 1) ความหลากหลายทางพันธุกรรมจะถูกคำนวณทั้งระหว่างและภายใน
กลุ่ม เปอร์เซ็นต์ของเครื่องหมายที่มีโพลิมอร์ฟิซึมใน
แต่ละกลุ่มมีตั้งแต่ 84.51% (ภาคใต้) ถึง 90.14%
(ภาคเหนือ) โดยเฉลี่ย 96.71% ค่า Nei's genetic
diversity (H_e) และค่า Shannon index (I) มีตั้งแต่
0.39-0.46 และ 0.51-0.61 มีค่าเฉลี่ย 0.43 และ 0.60
ตามลำดับ (ตารางที่ 4) แสดงให้เห็นว่าตัวอย่างที่
รวมรวมมากขึ้นมีฐานพันธุกรรมค่อนข้างกว้างภายใน
กลุ่ม กลุ่มประชากรที่มีค่า genetic diversity สูงที่สุด
คือภาคตะวันออกเฉียงเหนือ และต่ำที่สุดคือเมริการ
และแอฟริกา ถึงแม้ว่าทั้งสองกลุ่มจะประกอบด้วย
จำนวนตัวอย่างที่เท่ากัน ซึ่งสัมพันธ์กับค่า n_e
(effective number of allele) โดยกลุ่มตะวันออกเฉียง
เหนือมีค่าสูงที่สุด แสดงให้เห็นว่าความแปรปรวน
ของขนาดตัวอย่างระหว่างกลุ่มประชากร (4-17
ตัวอย่างต่อกลุ่ม) ไม่มีความสัมพันธ์กับความ
หลากหลายทางพันธุกรรมระหว่างกลุ่มประชากรหรือ
ภายในกลุ่มประชากร และค่า Gst (coefficient of gene
differentiation) เท่ากับ 0.06 ซึ่งชี้ให้เห็นว่าความ
หลากหลายทางพันธุกรรมระหว่างกลุ่มประชากรไม่มี
ความแตกต่างกันมากนัก ซึ่งสอดคล้องกับค่า Nm

(gene flow index) ที่ค่าค่อนข้างมาก (3.64) แสดงถึงมีการถ่ายเทแลกเปลี่ยนพันธุกรรมระหว่างประชากรในอัตราสูง

ตารางที่ 4 ความหลากหลายทางพื้นธุกรรม
ของกลุ่มประชากรทั้ง 6 กลุ่ม โดย
วิเคราะห์จากเครื่องหมาย ILP

Group	n	na	ne	He	I
North	15	2.11	1.84	0.43	0.61
Northeast	6	1.97	1.85	0.46	0.61
Central	17	1.95	1.82	0.42	0.59
South	4	1.90	1.80	0.46	0.58
Asia	11	2.18	1.77	0.40	0.59
USA and Africa	6	1.88	1.70	0.39	0.51
Total	59	2.47	1.84	0.43	0.60
SD		0.12	0.06	0.03	0.04
	Ht	Hs	Gst	Nm	
	0.42	0.42	0.06	3.64	

Na = Number of alleles

n_e = Number of effective alleles

H_e = Nei's genetic diversity

I = Shannon index

Ht = Total gene diversity

Nm = gene flow index

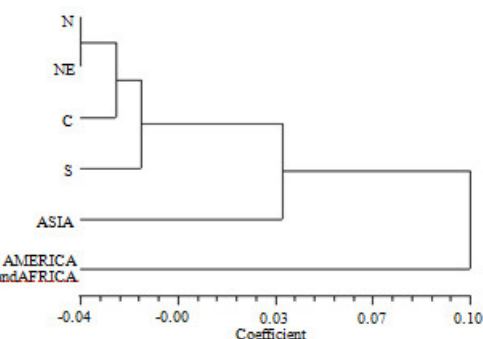
Gst = coefficient of gene differentiation

3.5 ความแตกต่างทางพันธุกรรมระหว่างกลุ่มประชากรสนุ่งดำ *J. curcas*

จากการแบ่งตัวอย่างสุ่มดำเนินการ 59 ตัวอย่าง เป็น 6 กลุ่ม ตามภูมิภาคและแหล่งที่มาของตัวอย่าง แล้วประเมินค่า F_{ST} ระหว่างคู่ของกลุ่มประชากร (ตารางที่ 5) พนว่าค่า F_{ST} ระหว่างกลุ่มภาคเหนือกับภาคตะวันออกเฉียงเหนือ ($F_{ST} = -0.04052$) และระหว่างกลุ่มภาคเหนือกับกลุ่มภาคกลาง ($F_{ST} =$

-0.023) มีระดับที่ต่ำและไม่มีนัยสำคัญ ($p>0.05$) ค่า Fst ที่ติดลบนี้ซึ่งให้เห็นถึงความแตกต่างระหว่าง สมาชิกภายในกลุ่มประชากรที่มากกว่าระหว่างกลุ่ม ประชากร ซึ่งบอกร่องการมีระดับของ gene flow อย่าง ไม่จำกัด ซึ่งหมายถึงประชากรทั้งสามนี้ไม่สามารถ แยกเป็นกลุ่มประชากรย่อยได้ ในขณะที่ค่า Fst ระหว่างกลุ่มประชากรภาคกลางกับอเมริกาและ แอฟริกามีค่าเท่ากับ 0.1406 แสดงถึงการเกิด gene flow ที่จำกัด ซึ่งหมายถึงกลุ่มประชากรนี้มีความ หลากหลายทางพันธุกรรมที่แตกต่างกัน เมื่อวิเคราะห์ การจัดกลุ่มโดยใช้ค่า genetic identity ตัวบวชที่ UPGMA ได้ dendrogram ดังรูปที่ 3 แสดงถึง ความสัมพันธ์ทางพันธุกรรมกับภูมิประเทศและ แหล่งที่มาของตัวอย่าง โดยมีการแยกตัวของกลุ่ม เอเชียและอเมริกากับแอฟริกาจากกลุ่มประเทศไทย อย่างชัดเจน ค่า coefficient of genetic differentiation ระหว่างกลุ่มประชากร (G_{ST}) เท่ากับ 0.06 ซึ่งมีผล สอดคล้องกับการวิเคราะห์ AMOVA แสดงให้เห็นว่า ความแปรปรวนทางพันธุกรรมส่วนใหญ่อยู่ภายใน กลุ่มประชากร 96.86% (ตารางที่ 6) โดยพันธุกรรมมี การเหลือมซ้อนกันมากระหว่างกลุ่มประชากรย่อยๆ

ในพื้นที่ภูมิภาคที่ใกล้เคียงกันของแหล่งที่มาของ ตัวอย่างส่วนnya



รูปที่ 3 Dendrogram ที่สร้างจากค่าระยะห่างทาง พันธุกรรมระหว่างกลุ่มประชากรทั้ง 6 กลุ่ม

4. วิจารณ์ผลการทดลอง

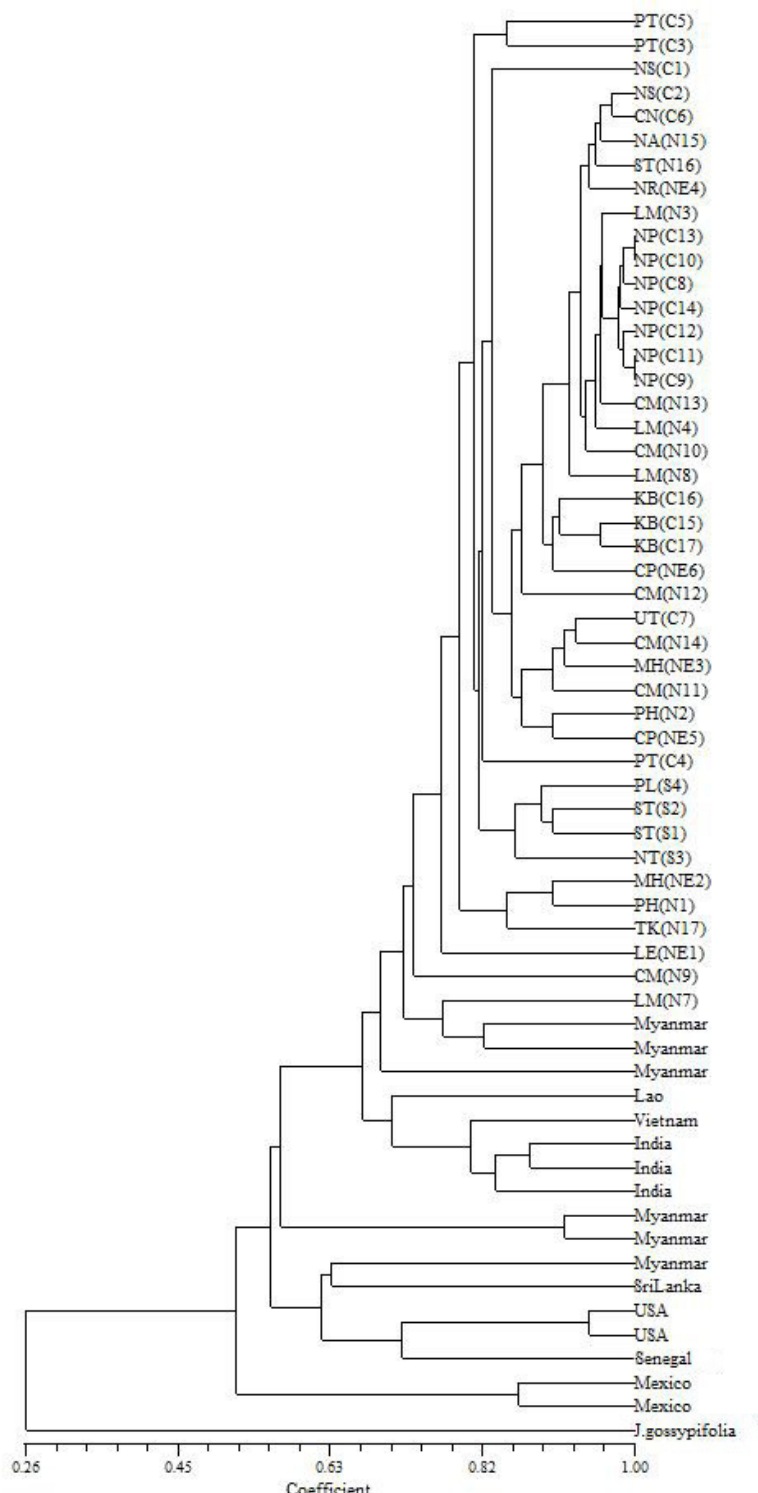
4.1 เครื่องหมาย ILP

เครื่องหมาย ILP ถูกออกแบบให้อยู่บน บริเวณของอีกช้อนที่คร่อมส่วนของอินทรอนอย่าง น้อยหนึ่งอินทรอน ซึ่งอาจมีหรือไม่มีลำดับเบสซ้ำ microsatellite อยู่ก็ได้ โดยการเกิดวิวัฒนาการที่ บริเวณอินทรอนนี้มีผลกระทบต่อสิ่งมีชีวิตน้อยกว่า การเกิดที่บริเวณอีกช้อน [19] ดังนั้นจึงเป็นบริเวณที่มี

ตารางที่ 5 ความคล้ายคลึงทางพันธุกรรม (ส่วนบนตาราง) และค่า Fst (ส่วนล่าง ตาราง) วิเคราะห์ด้วยเครื่องหมาย ILP

Groups	North	Northeast	Central	South	Asia	USA/Africa
North	-	0.9891	0.9946	0.9591	0.9511	0.9095
Northeast	-0.0405 ^{ns}	-	0.9855	0.9550	0.9423	0.9040
Central	-0.0230 ^{ns}	-0.0309	-	0.9565	0.9393	0.8962
South	-0.0113	-0.0376	-0.0043	-	0.9325	0.9000
Asia	0.0351	0.0242	0.0534	0.0254	-	0.9597
USA/Africa	0.1218	0.1044	0.1406	0.1128	0.0425	-

^{ns}not significant at $p<0.05$



รูปที่ 2 Dendrogram แสดงความคล้ายคลึงกันทางพันธุกรรมระหว่างตัวอย่างสบู่คำ

ตารางที่ 6 Analysis of molecular variance (AMOVA) ระหว่างและภายในกลุ่มประชากร
ห้อง 6 กุญแจ

Source of Variation	d.f.	Sum of squares	Variance Component	Percentage of variation	F_{ST}
Among group	5	128.05	0.51716Va	3.14	0.03142
Within group	112	1785.47	15.9417Vb	96.86	

ความหลากหลายส่วนใหญ่ที่พบจะเป็นความหลากหลายที่เกิดจากขนาดของอินทรอน ซึ่งอินทรอนที่มีขนาดใหญ่มากๆ มักจะมีความหลากหลายในระดับต่ำ [20,21]

เครื่องหมาย ILP เป็นเครื่องหมายดีเอ็นเอแบบ codominant ชนิดหนึ่ง ซึ่งสามารถตรวจสอบได้ง่ายโดยใช้ปฏิกิริยาพิชีอาร์ด้วยคู่ไฟรเมอร์ที่ออกแบบมาให้คร่อมบริเวณที่คาดว่าจะเป็นอินทรอน ลิงแม่ว่าข้อมูลขนาดหรือตำแหน่งของເອັກຂອນและอินทรอนในสบู่คำนั้นยังมีไม่นานัก แต่การทํานายขนาดและตำแหน่งของເອັກຂອນของพืชชนิดอื่น จากรูปแบบการอนุรักษ์โครงสร้างของบริเวณที่เป็นເອັກຂອนของพืชที่มีวิวัฒนาการใกล้เคียงกัน เพื่อพัฒนาเครื่องหมาย ILP จากไฟรเมอร์ที่ออกแบบให้คร่อมอินทรอน ใน การศึกษานี้ได้ใช้ลำดับเบสของ EST เทียบกับลำดับเบสจีโนมของมันสำປะหลัง ซึ่งเป็นพืชต้นแบบในวงศ์ Euphorbiaceae ที่มีความใกล้ชิดกับสบู่คำ เพื่อออกแบบไฟรเมอร์สำหรับพัฒนาเครื่องหมาย ILP ในสบู่คำ มี 84% ของไฟรเมอร์ทั้งหมดที่สามารถให้ผลผลิตพิชีอาร์ได้ ซึ่งถูกนำมาไปพัฒนาเป็นเครื่องหมาย ILP และเก็บทั้งหมดนี้สามารถถ่ายโอนสู่พืชในจีนส์เดียวกันได้สำเร็จ

จากการวิจัยที่ผ่านมา เครื่องหมาย ILP ส่วนใหญ่ใช้ในการศึกษาความหลากหลายทางพันธุกรรมระหว่างสปีชีส์หรือในระดับที่สูงกว่า [3,4]

เครื่องหมายดีเอ็นเอชนิดนี้ใช้ในการศึกษาความหลากหลายทางพันธุกรรมภายในสปีชีส์ได้ไม่นานัก ยกเว้นการศึกษาของ Ming *et al.* (2010) [22] ซึ่งศึกษาความหลากหลายทางพันธุกรรมและโครงสร้างของสปีชีส์อยู่ในข้าว โดยเปรียบเทียบระหว่างเครื่องหมาย ILP และ SSR ซึ่งเครื่องหมาย ILP ใน การศึกษานี้เป็นเครื่องหมายดีเอ็นเอชนิดแรกที่ใช้ศึกษาความหลากหลายและโครงสร้างทางพันธุกรรมภายในสปีชีส์ในสบู่คำได้เป็นอย่างดี

4.2 โครงสร้างประชากรและความหลากหลายทางพันธุกรรมของสบู่คำ

ความรู้ความเข้าใจทางด้านความหลากหลายทางพันธุกรรมและการกระจายตัวของความแปรปรวนทั้งภายในและระหว่างตัวอย่างสบู่คำที่เก็บมากจากบริเวณภูมิภาคที่แตกต่างกันในประเทศไทย และที่นำเข้ามายากด้วยประเทคโนโลยีมีความสำคัญต่อการเก็บรวบรวมและรักษาความหลากหลายทางพันธุกรรมของพันธุ์สบู่คำ และให้ครอบคลุมความหลากหลายทางพันธุกรรมทั้งหมด เพื่อใช้ในโครงการปรับปรุงพันธุ์ เมื่อไม่นานนี้มีรายงานการใช้เครื่องหมาย RAPD และ ISSR, AFLP, gSSR และ EST-SSR เพื่อศึกษาความหลากหลายทางพันธุกรรมของสบู่คำในอินเดียและจีน [7,23,24,25,26] แต่ยังไม่มีรายงานการศึกษาความหลากหลายทางพันธุกรรมในสบู่คำด้วยเครื่องหมาย ILP ซึ่งในการศึกษาครั้งนี้

ใช้เครื่องหมาย ILP ใน การศึกษาความหลากหลายทางพันธุกรรมและโครงสร้างประชากร

เมื่อเทียบกับการศึกษาอื่นๆ แล้ว ระดับของความหลากหลายทางพันธุกรรมในสูญค่าขังอยู่ในระดับกลาง ($H_t=0.44$) ศูนย์กลางถือเป็นเกณฑ์ของสูญค่า นั้นยังไม่มีข้อสรุปที่แน่นชัด แต่ก็เชื่อกันว่าจะมีแหล่งกำเนิดมาจากเม็กซิกโกและอเมริกากลาง และมีรายงานว่าในอินเดียและจีนนั้นมีการนำเข้าสูญค่าไม่นานนักจึงมีความหลากหลายทางพันธุกรรมที่ค่อนข้างต่ำ ซึ่งคล้ายกับการแพร่กระจายของสูญค่าเข้าสู่ประเทศไทยโดยชาวนาราประดุจมากกว่าสองศตวรรษ ก่อน [27] การที่ประเทศไทยมีการนำเข้าพันธุ์สูญค่าค่อนข้างน้อยและสูญค่าที่เป็นพืชที่มีการขยายพันธุ์แบบไม่ออาศัยเพค จึงทำให้ความหลากหลายทางพันธุกรรมของสูญค่าในประเทศไทยอยู่ในระดับไม่สูงนัก จากค่า AMOVA แสดงให้เห็นถึงระดับของการเหลื่อมซ้อนกัน และมีกลุ่มประชากรย่อยเล็กๆ ที่ขึ้นกับระยะห่างทางภูมิศาสตร์ ผลที่ได้จากการวิเคราะห์สำนารถอนิบาล ได้ว่า แหล่งของความแปรปรวนทางพันธุกรรมที่พ้นจากการศึกษานี้ได้จาก การตัดส่วนของต้นสูญค่ามาซึ่งคาดว่าจะเป็นตัวแทนพันธุกรรมสูญค่าของพื้นที่ป่าลูกและสถานีทดลองนั้นๆ แต่ไม่มีข้อมูลของแหล่งที่มาของเชื้อพันธุกรรม (germplasm) และขนาดของกลุ่มประชากร ตัวอย่าง สูญค่าในไทยที่ใช้ในการศึกษารังนี้อาจมีการแลกเปลี่ยนเชื้อพันธุกรรม กันอย่างอิสระระหว่างพื้นที่ที่แตกต่างกัน จากการประเมินค่า F_{ST} แบบรายคู่ (ตารางที่ 5) พบร่วงกุ่มประชากรที่มีภูมิประเทศ ใกล้เคียงกันก็จะถูกจัดอยู่ในกลุ่มที่ใกล้กันมากกว่า กลุ่มประชากรที่มีภูมิประเทศไกลกว่า ระดับของความแตกต่างทางพันธุกรรมจะลดลงเมื่อการแพร่พันธุ์ของสูญค่าส่วนใหญ่เป็นแบบไม่ออาศัยเพค ใน

พื้นที่ใกล้เคียง ถึงแม้มีสูญค่าจะสามารถให้เมล็ดได้จำนวนมากก็ตาม ซึ่งทำให้มีระดับความแปรปรวนทางพันธุกรรมภายในกลุ่มประชากรสูงแต่มีระดับความแปรปรวนระหว่างกลุ่มประชากรต่ำ

ผลจาก dendrogram ที่สร้างจากความเหมือนกันทางพันธุกรรมระหว่างประชากรของสูญค่า 6 กลุ่ม (รูปที่ 2) และโครงสร้างของกลุ่มประชากรแสดงให้เห็นว่ากลุ่มตัวอย่างที่มาจากการเม็กซิกโกและออฟริการ มีความแตกต่างทางพันธุกรรมกลุ่มตัวอย่าง ในไทยค่อนข้างสูงอันเนื่องมาจากการเมล็ดที่แตกต่างกัน เนื่องจากค่า F_{ST} เป็นค่าเชิงเปรียบเทียบเพื่อประเมินความแตกต่างทางพันธุกรรมระหว่างกลุ่มประชากร ความแปรปรวนทางพันธุกรรมภายในกลุ่มประชากรเม็กซิกโกและออฟริการที่ต่ำนั้น อาจทำให้การประเมินค่า F_{ST} สูงกว่าที่ควรจะเป็นค่าเยเทอโรไซโคชีดีที่คาดหมาย (0.39) และค่าความหลากหลายทางพันธุกรรมของชานอน (0.51) ของอเมริกาและออฟริการ (ตารางที่ 4) มีค่าค่อนข้างน้อย ซึ่งแสดงให้เห็นว่าตัวอย่างพันธุ์สูญค่าจากอเมริกาและออฟริการอาจสามารถที่จะใช้ในการเพิ่มความหลากหลายทางพันธุกรรมในไทยได้แต่อาจไม่มีประสิทธิภาพมากนัก แต่อย่างไรก็ตาม เมื่อพิจารณาพันธุ์จากเช่นกัล เม็กซิกโก และ Namlat พม่า แสดงให้เห็นถึงความแตกต่างทางพันธุกรรมที่ค่อนข้างมากกันสองตัวอย่าง จากภาคเหนือของไทย คือ NE-CP ซึ่งตัวอย่างเหล่านี้สามารถขยายฐานพันธุกรรมของสูญค่าในการปรับปรุงพันธุ์ได้

5. สรุปผลการทดลอง

งานวิจัยครั้งนี้ได้พัฒนาเครื่องหมาย ILP 71 เครื่องหมาย ใช้ในการศึกษาความหลากหลายทางพันธุกรรมในสูญค่า ทำให้ได้ข้อมูลของความ

คล้ายคลึงกันทางพันธุกรรมและโครงสร้างประชากรของสนั่นคำ โดยระดับความหลากหลายทางพันธุกรรมภายในกลุ่มประชากรที่สูง แต่ความแปรปรวนทางพันธุกรรมระหว่างกลุ่มประชากรที่ค่อนข้างต่ำ สะท้อนให้เห็นลักษณะของพืชสมัยโบราณอย่างสนั่นคำ แต่การแพร่พันธุ์สนั่นคำระหว่างแต่ละพื้นที่ในประเทศไทย เป็นการขยายพันธุ์แบบไม่อ้าศัยเพื่อเป็นการเพิ่มการเกิด genetic erosion ข้อมูลที่ได้จากการศึกษาครั้งนี้สามารถนำไปใช้ประโยชน์ในการปรับปรุงพันธุ์ การสร้างแผนที่จีโนม และใช้ในการคัดเลือกพันธุ์เพื่อแม่นยำของสนั่นคำที่มีความแตกต่างทางพันธุกรรมสูงที่สุดเพื่อใช้ในโครงการปรับปรุงพันธุ์สนั่นคำต่อไป

6. เอกสารอ้างอิง

- [1] Choi, H.K., Kim, D., Uhm, T., Limpens, E., Lim, H., Mun, J.H., Kalo, P., Penmetsa, R.V., Seres, A., Kulikova, O., Roe, B.A., Bisseling, T., Kiss, G.B. and Cook, D.R., 2004, A Sequence-based Genetic Map of *Medicago truncatula* and Comparison of Marker Colinearity with *M. sativa*, *Genetics* 166: 1463-1502.
- [2] Feltus, F.A., Singh, H.P., Lohithaswa, H.C., Schulze, S.R., Silva, T.D. and Paterson, A.H., 2006, A Comparative Genomics Strategy for Targeted Discovery of Single-nucleotide Polymorphisms and Conserved-noncoding Sequences in Orphan Crops, *Plant Physiol.* 140: 1183-1191.
- [3] Chen, X., Zhang, G. and Wu, W., 2010, Investigation and Utilization of Intron Length Polymorphisms in Conifers, *New Forests* 41: 379-388.
- [4] Tamura, K.I., Yonemaru, J.I., Hisano, H., Kanamori, H., King, J., King, I., Tase, K., Sanada, Y., Komatsu, T. and Yamada, T., 2009, Development of Intron-flanking EST Markers for the *Lolium festuca* Complex Using Rice Genomic Information. *Theor. Appl. Genet.* 118: 1549-1560.
- [5] Wang, X., Zhao, X., Zhu, J. and Wu, W., 2006, Genome-wide Investigation of Intron Length Polymorphisms and their Potential as Molecular Markers in Rice (*Oryza sativa* L.), *DNA Research* 12: 417-427.
- [6] Wei, H., Fu, Y. and Arora, R., 2005, Intron-flanking EST-PCR Markers: From Genetic Marker Development to Gene Structure Analysis in *Rhododendron*, *Theor. Appl. Genet.* 111: 1347-1356.
- [7] Wen, M., Wang, H., Xia, Z., Zou, M., Lu, C. and Wang, W., 2010, Developmenrt of EST-SSR and Genomic-SSR Markers to Assess Genetic Diversity in *Jatropha curcas* L., *BMC Research Notes* 3: 42.
- [8] Gawel, N. and Jarret, R., 1991, A Modified CTAB DNA Extraction Procedure for *Musa* and *Ipomoea*, *Plant Mol. Bio. Rep.* 9: 262-266.
- [9] Yang, L., Jin, G., Zhao, X., Zheng, Y., Xu, Z. and Wu, W., 2007, PIP: A Database of Potential Intron Polymorphism Markers, *Bioinformatics* 23: 2174-2177.

- [10] Brendel, V., Xing, L. and Zhu, W., 2004, Gene Structure Prediction from Consensus Spliced Alignment of Multiple ESTs Matching the same Genomic Locus, *Bioinformatics* 20: 1157-1169.
- [11] Rozen, S. and Skaletsky, H., 2000, Primer3 on the WWW for General Users and for Biologist Programmers, *Methods Mol. Biol.* 132: 365-386.
- [12] Benbouza, H., Jacquemin, J.M., Baudoin, T. and Mergeai, G., 2006, Optimization of a Reliable, Fast, Cheap and Sensitive Silver Staining Method to Detect SSR Markers in Polyacrylamide Gels, *Biol. Agron. Soc. Env.* 10: 77-81.
- [13] Liu, K. and Muse, S.V., 2004, PowerMarker: An Integrated Analysis Environment for Genetic Marker Analysis, *Bioinformatics* 21: 2128-2129.
- [14] Nei, M. and Li, W.H., 1979, Mathematical Model for Studying Genetic Variation in Terms of Restriction Endonucleases, *Proc. Nat. Acad. Sci. USA* 76: 5269-5273.
- [15] Rohlf, F.J., 1998, NTSYSpc: Numerical Taxonomy and Multivariate Analysis System, version 2.02, Exeter Software, Setauket, New York.
- [16] Yeh, F., Yang, R., Boyle, T., Ye, Z. and Xiyan, J., 2000, PopGene32, Microsoft Windows-based Freeware for Population Genetic Analysis, Version 1.32.
- [17] McDermott, J.M. and McDonald, B.A., 1993, Gene Flow in Plant Pathosystems, *Ann. Rev. Phytopathol.* 31: 353-373.
- [18] Excoffier, L., Laval, G. and Schneider, S., 2005, Arlequin (version 3.0): An Integrated Software Package for Population Genetics Data Analysis, *Evol. Bioinf. Online* 1: 47-50.
- [19] Lessa, E.P., 1992, Rapid Surveying of DNA Sequence Variation in Natural Populations, *Mol. Biol. Evol.* 9: 323-330.
- [20] Comeron, J.M. and Kreitman, M., 2000, The Correlation Between Intron Length and Recombination in *Drosophila*: Dynamic Equilibrium between Mutational and Selective Forces, *Genetics* 156: 1175-1190.
- [21] Lynch, M., 2002, Intron Evolution as a Population-genetic Process, *Proc. Nat. Acad. Sci. USA* 99: 6118-6123.
- [22] Ming, H., Fang-min, X., Li-yun, C., Xiang-qian, Z., Jojee, L. and Madonna, D., 2010, Comparative Analysis of Genetic Diversity and Structure in Rice Using ILP and SSR Markers, *Rice Sci.* 17: 257-268.
- [23] Basha, S. and Sujatha, M., 2007, Inter and Intra-population Variability of *Jatropha curcas* (L.) Characterized by RAPD and ISSR Markers and Development of Population-specific SCAR Markers, *Euphytica* 156: 375-386.

- [24] Ganesh, R.S., Parthiban, K., Senthil, K.R., Thiruvengadam, V. and Paramathma, M., 2008, Genetic Diversity among *Jatropha* Species as Revealed by RAPD Markers, Gen. Res. Crop Evol. 55: 803-809.
- [25] Sirithunya, P. and Ukoskit, K., 2010, Population Genetic Structure and Genetic Diversity of *Jatropha curcas* Germplasm as Investigated by 5'-anchored Simple Sequence Repeat Primers, J. Plant Sci. Biotech. 13: 147-153.
- [26] Sun, Q., Li, L., Li, Y., Wu, G. and Ge, X., 2008, SSR and AFLP Markers Reveal Low Genetic Diversity in the Biofuel Plant *Jatropha curcas* in China, Crop Sci. 48: 1865-1871.
- [27] Ratree, S., 2004, A Preliminary Study on Physic Nut (*Jatropha curcas* L.) in Thailand, Pakistan J. Biol. Sci. 7: 1620-1623.